

九州大学 工学部 正員 山崎徳也

〃 〃 〃 太田俊昭

〃 大学院 学生員 ○片山忠

1. 緒言 高張力鋼のめざましい発達とともに注目をあびてきた Hybrid 工形ばり¹⁾は、Cost 高の High-Tension Steel を曲げモーメントに最も大きく抵抗するフランジ部分に用い、ウェブ部分には Low-Tension Steel を用いることにより、経済的かつ充分な強度を持たせた効率のよい一種の混成ばりである。本論文は Hybrid 工形断面をもつ連続ばりの弾塑性解析を試み、全断面が Low-Tension Steel よりなる普通工形ばりと比較検討してその特性を解明し、後述するごとく、Hybrid 工形ばりの特性の一端である断面強度効果について考察したものである。

2. 曲げモーメントと曲率の関係

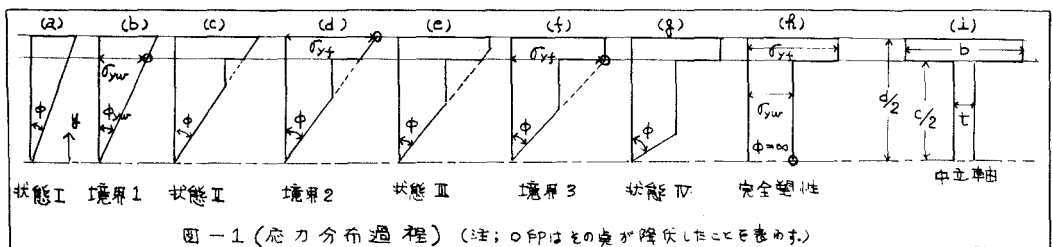


図-1(応力分布過程) (注: (b), (c), (d), (t) はその値が降伏したことを意味する)

塑性解析の慣用仮定にしたがえば、漸増曲げモーメントを受けて弾性より弾塑性を経て、完全塑性に至るまでの Hybrid 工形ばりの断面に生じる応力分布過程は図-1のごとく示される。これらの各状態における曲げモーメント M と曲率中の関係は断面寸法 (b, c, d, t) を図-1(a) ごとく定めればそれ以下のごとくえらべる。

状態 I (図-1(a) 参照); $M = EI\phi$ ----- (1)

状態 II (図-1(b) 参照); $M = EI_f \cdot \phi + \sigma_{yw} \cdot Z_w - \frac{\sigma_{yw}^3 \cdot t}{3 E^2 \phi^2}$ ----- (2)

状態 III (図-1(c) 参照); $M = Z_f \cdot \sigma_f + Z_w \cdot \sigma_{yw} - \frac{\sigma_{yw}^3 \cdot t + \sigma_f^3 \cdot b}{3 E^2 \phi^2} + \frac{bc^2}{12} (3\sigma_f - cE\phi)$ ----- (3)

状態 IV (図-1(d) 参照); $M = Z_f \cdot \sigma_f + Z_w \cdot \sigma_{yw} - \frac{\sigma_{yw}^3 \cdot t}{3 E^2 \phi^2}$ ----- (4)

完全塑性状態 (図-1(e) 参照); $M_p = Z_f \cdot \sigma_f + Z_w \cdot \sigma_{yw}$ ----- (5)

ここに σ_{yw}, σ_f : それぞれウェブおよびフランジの降伏応力。 E : キャンピング。 I : 断面一次モーメント。 I_f, Z_f : フランジの断面二次モーメントおよび一次モーメント。 Z_w : ウェブの断面一次モーメント。 M_p : 完全塑性モーメント。

次に図-1(b)の、状態 I と II の境界を示す 境界 I における降伏モーメントを M_{yw} 、曲率を ϕ_y で示せば式(1)より次式である。
 $M_{yw} = EI\phi_{yw} = \sigma_{yw} \cdot S$ ただし $S = I_c / \frac{c}{2}$ ----- (6)

さて以後の解析を容易にするために、式(1)～(5)の M -中関係式を式(6)で除して無次元化すればそれ以下式をもつ。

状態 I; $m = \phi_y$ ----- (7)

状態 II; $m = \frac{Z_w}{S} + \frac{I_f}{I} \cdot \phi_y - \frac{Z_w}{3S} \cdot \frac{1}{\phi_y^2}$ ----- (8)

$$\text{状態III: } m = \frac{Z_w + Z_f \cdot R + Z_a \cdot R}{S} - \frac{2 Z_a}{3 S} \cdot \varphi = \frac{Z_w + Z_a \cdot R^2}{3 S} \cdot \frac{1}{\varphi^2} \quad \cdots (9)$$

$$\text{状態IV: } m = \frac{Z_w + Z_f \cdot R}{S} - \frac{Z_w}{3 S} \cdot \frac{1}{\varphi^2} \quad \cdots (10)$$

$$\text{完全塑性状態: } m_p = \frac{Z_w + Z_f \cdot R}{S} \quad \cdots (11)$$

たゞし、 $m = M/M_{yw}$, $\varphi = \phi/\phi_{yw}$, $Z_a = bc^2/4$,
 $R = G_f/G_{yw}$ で 降伏比 K と名付ける。

いま、断面寸法を $b = 15\text{cm}$, $c = 27.4\text{cm}$, $d = 15\text{cm}$, $t = 0.8\text{cm}$
 とし、R が 1.5, 2.0, 3.0 の各場合について(7)～(11)より $m-\varphi$ 図を描けば、図-2 に示すごとくえられる。

3. $m-\varphi$ 近似直線に基づく中一法³⁾公式の説明

図-3 に示す $m-\varphi$ 近似直線 BCD の勾配 k' を文献(3)の手法に準じてエキルギー等置の条件より算定する。すなはち図-3において $m-\varphi$ 直線による面積 $ABGCDA$ と $m-\varphi$ 近似直線による面積 $ABCDA$ とを等置して次式をうる。

$$k' = \frac{\frac{1}{2} - \frac{Z_f \cdot R}{S} + \frac{Z_a \cdot R^2}{S} (\frac{d}{c} - 1)}{\frac{1}{2} (m_p - 1)^2} \quad \cdots (12)$$

次に直線部材 AB の材端 A キリ距離 γ の仕様実のためみと、および、たみみ角θは中一法によれば、それとれ次式で与えられる。

$$\left. \begin{aligned} S &= \gamma \cdot \theta_{AB} - \int_0^\gamma \phi (\gamma - x) dx \\ \theta &= \theta_{AB} - \int_0^\gamma \phi dx \\ \theta_{AB} &= \int_0^\gamma \frac{l-x}{l} \phi dx \quad \text{ただし } l: \text{部材長。} \end{aligned} \right\} \quad \cdots (13)$$

一方、 $m-\varphi$ 近似直線の方程式は $\varphi = k'm - (k'-1)$ と表わされる³⁾から、式(13)にこれを代入のうえ整理すれば結果次式をうる。

$$\left. \begin{aligned} S &= \frac{M_{yw} \cdot l^2}{EI} \left[\bar{\theta}_{AB} - \int_0^\gamma m(\gamma - x) dx - k' \int_P \{m - \text{sig } m\} (\gamma - x) dx \right] \\ \theta &= \frac{M_{yw} \cdot l}{EI} \left[\bar{\theta}_{AB} - \int_0^\gamma m dx - k' \int_P \{m - \text{sig } m\} dx \right] \\ \bar{\theta}_{AB} &= \left[\int_0^1 m(1-x) dx + k' \int_P \{m - \text{sig } m\} (1-x) dx \right] \end{aligned} \right\} \quad \cdots (14)$$

ここで $\bar{x} = x/l$, $\bar{y} = y/l$, $\bar{\theta}_{AB} = \theta_{AB} / \frac{M_{yw} \cdot l}{EI}$, $k = k' - 1$,
 $\text{sig } m = +1 (m > 0)$, $\text{sig } m = -1 (m < 0)$, また積分記号の添字 P は材端方向の塑性域を表す。

4. 計算例 上記中一法公式を用いて、図-1 に示す Hybrid 連続ばりを解析し、奥 D のたみみを求めるには以下のごとくである。まず弹性計算により降伏荷重 P_y を求めねば次式をうる。

$$P_y = 64 M_{yw} / 11l \quad \cdots (15)$$

次に各部材に作用するモーメントを図-4 おり求め、式(15)の P_y および M_{yw} で無次元化すれば次式をうる。

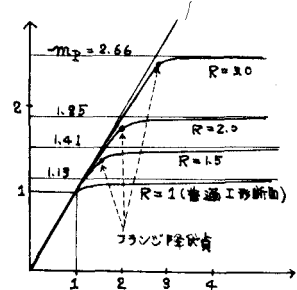


図-2. ($m-\varphi$ 曲線)

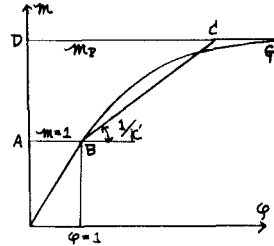


図-3 ($m-\varphi$ 近似直線)

$$\left. \begin{array}{l} A \sim D; \quad m = (\frac{32}{11} P^* - M_{BA}) \bar{x} \\ D \sim B; \quad m = -(\frac{32}{11} P^* + M_{BA}) \bar{x} + \frac{32}{11} P^* \\ B \sim C; \quad m = \frac{32}{11} P^* \bar{x} - \frac{32}{11} P^* \bar{x}^2 + (1-\bar{x}) M_{BC} \end{array} \right\} \cdots (16)$$

ここで $P^* = E/E_y$, M_{BA}, M_{BC} : 部材AB, BCの材端Bの端モーメントを M_{Ww} で割ったものである。

部材ABおよびBCの材端Bのたわみ角 θ_{BA}, θ_{BC} を式(14)の

式2式より求め、支点Bのたわみ角の連続条件 $\theta_{BA} = \theta_{BC}$ を用いれば結局不静定モーメント m_{BA} が次のとく求められる。

$$m_{BA} = \left[\frac{10}{11} P^* + \frac{3}{2} K(-I_1' + I_2') \right] / \left[1 - \frac{3}{2} K(-I_1' + I_2') \right] \cdots (17)$$

$$\text{ただし } I_1' = \left\{ -\frac{1}{2} - \frac{1}{2} (\bar{a}_1^2 - \bar{a}_2^2 - \bar{a}_3^2) \right\} + \left\{ -\frac{14}{11} - \frac{16}{11} (\bar{a}_2^2 - \bar{a}_3^2) + \frac{32}{33} (\bar{a}_1^3 + \bar{a}_2^3 - \bar{a}_3^3) \right\} P^*,$$

$$I_2' = \left\{ \bar{b}_1 + \bar{b}_2 - \bar{b}_3 - \frac{1}{2} (\bar{b}_1^2 + \bar{b}_2^2 - \bar{b}_3^2) \right\} + \left\{ \frac{16}{11} (\bar{b}_1^2 - \bar{b}_2^2 + \bar{b}_3^2) - \frac{16}{33} (\bar{b}_1^3 - \bar{b}_2^3 + \bar{b}_3^3) + \frac{16}{22} (\bar{b}_1^4 - \bar{b}_2^4 + \bar{b}_3^4) \right\} P^*,$$

$$I_1 = \frac{1}{3} - \frac{1}{3} (\bar{a}_1^3 - \bar{a}_2^3 + \bar{a}_3^3), \quad I_2 = (\bar{b}_1 - \bar{b}_2 + \bar{b}_3) - (\bar{b}_1^2 - \bar{b}_2^2 + \bar{b}_3^2) + \frac{1}{3} (\bar{b}_1^3 - \bar{b}_2^3 + \bar{b}_3^3),$$

$$\text{ここで } \bar{a}_1 = a_1/l, \quad \bar{b}_1 = b_1/l \quad (\lambda = 1, 2, 3).$$

一方、材端Aのたわみ角 θ_{AB} もとひ荷重実口のたわみ角は式(14)より求められ次式で与えられる。

$$\left. \begin{array}{l} \theta_{AB} = \left(\frac{4}{11} P^* - \frac{1}{6} M_{BA} \right) + K(I_1 + I_1' \cdot M_{BA} + J_1) \\ J_1 = \frac{M_{Ww} \cdot l^2}{E \cdot I} \left[\frac{1}{2} \theta_{AB} - \left\{ \frac{1}{48} \left(\frac{32}{11} P^* - M_{BA} \right) + K J_2 \right\} \right] \end{array} \right\} \cdots (18)$$

$$\text{ここで } J_1 = \left\{ 1 + (\bar{a}_1 - \bar{a}_2 - \bar{a}_3) \right\} + \left\{ \frac{18}{11} - \frac{16}{11} (\bar{a}_1^2 + \bar{a}_2^2 - \bar{a}_3^2) + \frac{32}{11} (\bar{a}_2 - \bar{a}_3) \right\} P^* + \left\{ -\frac{1}{2} + \frac{1}{2} (\bar{a}_1^2 - \bar{a}_2^2 + \bar{a}_3^2) \right\} M_{BA},$$

$$J_2 = \left(\frac{32}{11} P^* - M_{BA} \right) \left\{ \frac{1}{48} + \frac{\bar{a}_1^2}{3} \right\} + \left\{ -\frac{1}{3} - \frac{\bar{a}_1^2}{2} + \frac{\bar{a}_1}{2} \right\}.$$

以上より式(17)によって不静定モーメント M_{BA} を求め、これを式(18)に代入して所要のたわみ角を算定することができる。この場合、塑性領域を規定するパラメータ $\bar{a}_1, \dots, \bar{b}_1, \dots$ は、モーメントの適合条件より逐次計算によって算定される³⁾。本例では塑性ヒンジが必ず荷重実口に、ついで奥壁に生じて部材ABの部分崩壊が形成される。弾性状態より部材ABの崩壊荷重に対するたわみを、Rが1.5, 2.0, 3.0の場合について算定し、結果を図-5に示した。

5. Hybrid工形ばりの特性について

降伏比 R と降伏荷重 P_y 、崩壊荷重 P_c 、降伏荷重時のたわみ δ_y 、崩壊荷重時のたわみ δ_p の関係を前記計算例について考察し、普通工形ばりと比較吟味した。またわち Hybrid工形ばり、普通工形ばりの荷重値がひびいたたわみを P 、ひびき止 δ_p で区別し、ここに両者の荷重およびたわみの比を $\bar{P} = P/P_y$ および $\bar{\delta}_p = \delta_p/\delta_y$ とすれば、それを以て次のとく関係式が成立する。

まず降伏荷重については式(15)より次式となる。

$$P_y = 64 M_{Ww}/11l, \quad \bar{P}_y = 64 M_{Ww}/11l \quad \therefore \bar{P}_y = P_y/E_y = \frac{d}{c} \quad \cdots (19)$$

ただし M_{Ww} : 普通工形ばりの降伏モーメント。

また、崩壊荷重は $P_c^* = 33 M_{Ww}/32$ となるので次式が成立する。

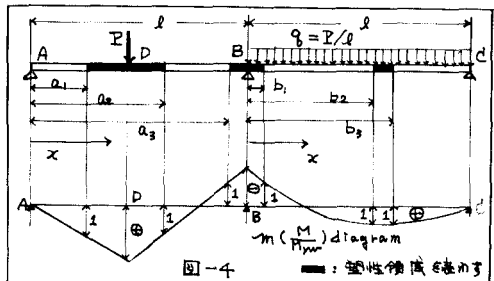


図-4

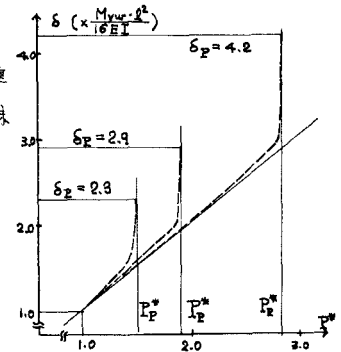


図-5 (荷重-たわみ曲線)

$$P_E = P_y \cdot P_E^* = P_y \cdot \frac{23}{32} M_p, \quad \dot{P}_E = \dot{P}_y \cdot \frac{23}{32} \dot{M}_p. \quad \therefore \quad \ddot{P}_E = \ddot{P}_y / \ddot{\delta}_y = \frac{Z_w}{E} + R \cdot \frac{Z_w}{E}$$

ただし、 $Z = Z_w + Z_f$.

次に降伏荷重時のたわみは式(18)においてこの項を零とおけば結局、次式となる。

$$\ddot{\delta}_y = \delta_y / \dot{\delta}_y = d/c \quad \cdots \cdots (21)$$

さらに崩壊荷重時のたわみは式(18)においてこの項を零とおいて整理すれば次式となる。

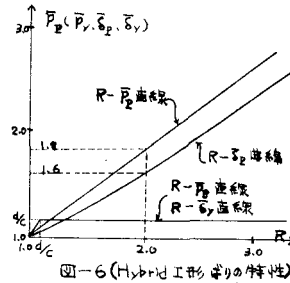
$$\ddot{\delta}_E = \frac{\ddot{P}_E}{\ddot{\delta}_E} = \frac{d}{c} \left[M_p + R \left\{ -M_p - \frac{3}{2} + \frac{1}{2} \frac{1}{M_p} \right\} \right] / \left[\dot{M}_p + \dot{R} \left\{ \dot{M}_p - \frac{3}{2} + \frac{1}{2} \frac{1}{\dot{M}_p} \right\} \right] \quad \cdots \cdots (22)$$

ただし、 $1/(R+1)$ ：普通工形ばかりのM-y曲線の勾配。

式(19)～(22)を図示すれば図-6のごとくなる。

なお、部材AB, BCが同時に崩壊するためには、部材BCに比べてR値の大きなHybrid工形ばかりを部材ABに用いればよく、この場合の両部材のRの関係式は、部材BCの最大モーメントに対する部材ABの最大モーメントの比がともにRの逆数である $(M_p)_{AB}/(M_p)_{BC}$ に等しいと云う次の式(23)より一義的に定められる。

$$\frac{(M_p)_{AB}}{(M_p)_{BC}} = \frac{(1+\sqrt{2})}{1} \quad \cdots \cdots (23)$$



「ま部材BCにR=1の普通工形ばかりを用いるものとすれば式(23)より、部材ABのR値としてR=2.46をえ、したがって同部材にR=2.46のHybrid工形ばかりを用ひれば、両部材とともに普通工形ばかりを用いた場合に比べて約99%大きい荷重で完全崩壊することが計算の結果判明し、かかる断面強度効果はHybrid工形ばかりの重要な特性の一つと云える。」と図-2のM-y曲線、図-5の荷重-たわみ曲線、あるいは図-6の特性図を総合して論ずれば、以下の諸実験をHybrid工形ばかりの特徴としてあげることができます。

(i) 図-2のM-y曲線よりわかるごとく、Hybrid工形ばかりは必ず降伏後も弾性挙動を示し、フランジ外縁の降伏とともに曲げ剛性を弱めて塑性特性を顕著に表わし、フランジの降伏が終了するとヒモに急速に完全塑性状態に移行する。この傾向はRが大なるほど著しくなる。

(ii) 図-5より、たわみは最初の塑性ヒンジ形成時までほぼ直線的に増大し、それ以後は急激に増加することが判読される。

(iii) 図-6より降伏荷重時の $\ddot{P}_y, \ddot{\delta}_y$ はヒモもRが大より小さな部分を除けば δ_y となり、Rの変化に無関係であるのにに対し、崩壊荷重時の $\ddot{P}_E, \ddot{\delta}_E$ は両者ともほぼ直線的に増大する。

6. 結語

本論文はHybrid工形断面をもつ連続ばかりの弾塑性解析を行ひ、その特性を理論的に考察したもので、且つ指摘したことなくHybrid工形ばかりは、R値の増加とともに弾性挙動を著しく増大する。しかし少くともの常時降伏に伴う高応力疲労や局部塑性座屈などの諸現象が大きな問題として介在するゆえ、必ずしも慣用の塑性設計法がRの大きなHybrid工形ばかりの解析に最適であると即断するのは極めて危険と云える。本研究は文部省科学研奨賞の補助を受けた、記して謝意を表す。

参考文献 (1) R.W.Frost & C.G.Schelling ; Behavior of Hybrid Beam subjected To Statical Load, Proceeding of ASCE, vol.90 No.8T.3 June 1964

(2) 山崎太田・片山；Hybrid工形ばかりの弾塑性解析、土木学会西部支部分科会研究会議録、昭和42年1月。

(3) 山崎太田・石川；補正エネルギー法による複合材の弾塑性解析、土木学会論文集、第134号、昭和41年10月。